

**КЛАСТЕРНАЯ САМООРГАНИЗАЦИЯ ИНТЕРМЕТАЛЛИЧЕСКИХ СИСТЕМ:
ТРЕХСЛОЙНЫЕ ИКОСАЭДРИЧЕСКИЕ НАНОКЛАСТЕРЫ**
 $K_{132} = 0@12(Ind_6Tl_6)@30(Ind_6Na_6K_{18})@90(Ind_{72}Na_{12}K_6)$
 И $K_{116} = 0@12(Ind_6Tl_6)@26(Ind_{12}K_{14})@78(Ind_{36}Tl_{20}K_{12})$
ДЛЯ САМОСБОРКИ КРИСТАЛЛИЧЕСКОЙ СТРУКТУРЫ
 $K_{52}Na_{12}Tl_{36}Ind_{122}-hP224$

© 2020 г. В. Я. Шевченко^{1, *}, В. А. Блатов², Г. Д. Илюшин³

¹Институт химии силикатов им. И.В. Гребенщикова РАН, наб. Макарова, 2,
Санкт-Петербург, 199034 Россия

²Международный научно-исследовательский центр по теоретическому материаловедению,
Самарский государственный технический университет, ул. Молодогвардейская, 244,
г. Самара, 443100 Россия

³Федеральный научно-исследовательский центр “Кристаллография и фотоника”,
Ленинский пр., 59, Москва, 119333 Россия

*e-mail: shevchenko@isc.nw.ru

Поступила в редакцию 01.11.2019 г.

После доработки 31.01.2020 г.

Принята к публикации 05.02.2020 г.

С помощью пакета программ ТОPOS осуществлен комбинаторно-топологический анализ и моделирование самосборки кристаллической структуры $K_{52}Na_{12}Tl_{36}Ind_{122}-hP224$ (пр. гр. $P-3m1$, $a = b = 16.909$, $c = 28.483$ Å, $V = 7\,052$ Å³). Число вариантов кластерного представления 3D атомной сетки с числом структурных единиц от 4 до 10 составило 1649 вариантов. Установлены два каркас-образующих трехслойных икосаэдрических нанокластера K132 и K116 с симметрией $g = -3m$ и диаметром 17 Å. Трехслойный 132-атомный нанокластер K132 имеет химический состав оболочек $0@12(Ind_6Tl_6)@30(Ind_6Na_6K_{18})@90(Ind_{72}Na_{12}K_6)$ и 116-атомный нанокластер K116 имеет химический состав оболочек $0@12(Ind_6Tl_6)@26(Ind_{12}K_{14})@78(Ind_{36}Tl_{20}K_{12})$. Реконструирован симметрийный и топологический код процессов самосборки 3D структуры $Na_{12}K_{52}Tl_{36}Ind_{122}$ из нанокластеров-прекурсоров K132 и K116 в виде: первичная цепь → слой → каркас. В пустотах каркаса расположены атомы-спайсеры K и Tl.

DOI: 10.31857/S0132665120030142

ВВЕДЕНИЕ

Кристаллизация интерметаллических соединений калия установлена в двойных системах K–M (с участием 15 химических элементов M), в 63 тройных системах K–M1–M2 (с участием 27 элементов) и в 30 четверных системах K–M1–M2–M3 (с участием 29 элементов) [1, 2].

Двенадцать четверных интерметаллидов образуются в 11 системах K–Na–M1–M2 (с участием атомов M1, M2 = Au, Mg, Zn, Cd, Al, Ga, In, Sn, Sb, Bi) (табл. 1, [3–14]). В системе K–Na–Cd–Tl установлено образование двух соединений, в остальных системах – по одному соединению (табл. 1). С участием больших атомов K и Rb, и K и Cs в четверных системах образуются только 3 и 2 интерметаллида [1, 2].

Таблица 1. Кристаллографические данные интерметаллидов, образующихся в системах K–Na–M1–M2, где M1, M2 = Au, Mg, Zn, Cd, Al, Ga, In, Sn, Sb, Bi

Соединение	Пр. группа	Класс Пирсона	Параметры элементарной ячейки в Å и углы в градусах	$V, \text{Å}^3$
K ₆ Na ₃ AlSb ₄ [3]	<i>P</i> 6 ₃ / <i>mmc</i> (194)	<i>hP</i> 28	10.168, 10.168, 10.527	942.6
K ₆ Na ₃ GaSb ₄ [4]	<i>P</i> 6 ₃ / <i>mmc</i> (194)	<i>hP</i> 28	10.218, 10.218, 10.590	957.5
K ₂ Na ₄ Sn ₂ Zn [5]	<i>P</i> 1 ₂ ₁ / <i>c</i> 1(14)	<i>mP</i> 36	11.572, 9.862, 11.382, 90.00, 119.33, 90.00	1132.3
KNa ₄ SnSb ₃ [6]	<i>P</i> 1 ₂ ₁ / <i>c</i> 1(14)	<i>mP</i> 36	9.091, 8.375, 17.463, 90.00, 121.37, 90.00	1135.2
K ₆ Na ₂ Cd ₃ Tl ₁₂ [7]	<i>Im</i> -3(204)	<i>c</i> 146	11.321, 11.321, 11.321	1451.0
K ₆ Na ₁₄ MgTl ₁₈ [8]	<i>Pm</i> -3(200)	<i>cP</i> 39	11.591, 11.591, 11.591	1557.4
K ₃ Na ₂ SnBi ₃ [9]	<i>I</i> bca(73)	<i>o</i> 172	7.182, 16.926, 21.595	2625.1
Na ₈ K ₂₃ Cd ₁₂ In ₄₈ [10]	<i>P</i> 6/ <i>mmm</i> (191)	<i>hP</i> 91	17.114, 17.114, 10.442	2648.6
K ₁₆ Na ₉ Cd ₃ Tl ₁₈ [11]	<i>P</i> 6 ₃ / <i>mmc</i> (194)	<i>hP</i> 98	11.136, 11.136, 29.352	3152.3
K ₃₈ Na ₁₂ Au ₂ Tl ₄₈ [12]	<i>P</i> -62 <i>m</i> (189)	<i>hP</i> 100	19.343, 19.343, 11.498	3725.6
K₂₆Na₆In₆₁Tl₁₈ [13]	<i>P</i>-3<i>m</i>1(164)	<i>hP</i>224	16.909, 16.909, 28.483	7052.6
K ₁₄ Na ₂₁ Cd ₁₇ Ga ₈₄ [14]	<i>R</i> -3 <i>m</i> (166)	<i>hR</i> 139	16.669, 16.669, 36.472	8776.3

В работе [15] для четверного интерметаллида **K₂₃Na₈Cd₁₂In₄₈–*hP*91** ($a = b = 17.114, c = 10.442 \text{ \AA}$, пр. группа *P*6/*mmm*) был установлен новый тип полиэдрического кластера-прекурсора K8 = 0@8(Na₂In₆) и K8 = 0@K₂In₆ в виде гексагональной бипирамиды. Кластеры Na₂In₆ являлись темплатами, на поверхности которых происходило образование атомных оболочек из 36 атомов. Состав двухслойного темплатированного кластера K44 = 0@8(Na₂In₆)@36(In₆Cd₆K₆)₂.

Кристаллическая структура наиболее кристаллохимически сложного четверного интерметаллида **K₅₂Na₁₂Tl₃₆In₁₂₂–*hP*224** [13], характеризуется большими значениями параметров гексагональной ячейки: $a = b = 16.909 \text{ \AA}, c = 28.483 \text{ \AA}, V = 7\,052 \text{ \AA}^3$, пр. группой *P*-3*m*1(164) и 32 кристаллографически независимыми атомами с уникальной последовательностью Вайкоффа $j^{8/20}d^3c$. Два атома Na имеют КЧ = 13 и 15, восемь атомов K КЧ = 12, 14, 15, и 16, шестнадцать атомов In КЧ = 9, 10, 11, 12, 16 и шесть атомов Tl – КЧ = 10, 11, 13, 14.

В настоящей работе с помощью пакета программ ToposPro [16] проведен геометрический и топологический анализ кристаллической структуры интерметаллида K₅₂Na₁₂Tl₃₆In₁₂₂–*hP*224. Реконструирован симметрийный и топологический код процессов самосборки кристаллической структуры интерметаллида из нанокластеров K132 и K116 в виде: первичная цепь → микрослой → микрокаркас.

Работа продолжает исследования [15, 17–23] в области моделирования процессов самоорганизации систем на супраполиэдрическом уровне и геометрического и топологического анализа кристаллических структур с применением современных компьютерных методов.

МЕТОДИКИ, ИСПОЛЬЗОВАННЫЕ ПРИ КОМПЬЮТЕРНОМ АНАЛИЗЕ

Геометрический и топологический анализ осуществляли с помощью комплекса программ ToposPro [16], позволяющего проводить многоцелевое исследование кристаллической структуры в автоматическом режиме, используя представление структур в виде “свернутых графов” (фактор-графов). Данные о функциональной роли атомов при об-

Таблица 2. $K_{52}Na_{12}Tl_{36}In_{122}-hP224$. Локальное окружение атомов Na, K, Tl, In и значения координационных последовательностей. Жирным шрифтом выделено КЧ атомов

Атом	Локальное окружение	Координационные последовательности				
		N1	N2	N3	N4	N5
Na1	3K + 12In	15 44 103 192 315				
Na2	5K + 7In + 1Tl	13 48 110 196 311				
K1	4K + 6In + 6Tl	16 49 103 204 336				
K2	3Na + 3K + 3In + 2Tl	16 49 105 205 331				
K3	3K + 6In + 6Tl	15 48 105 209 336				
K4	1Na + 3K + 8In + 3Tl	15 47 106 198 326				
K5	3K + 8In + 3Tl	14 46 102 200 308				
K6	1Na + 3K + 10 In + 1Tl	15 45 101 202 330				
K7	12In	12 36 90 193 297				
K8	3K + 9In + 3Tl	15 46 97 189 321				
In1	3K + 3In + 3Tl	9 36 96 187 298				
In2	4K + 4In + 3Tl	10 42 100 188 317				
In3	3K + 3In + 3Tl	9 37 97 185 303				
In4	1Na + 3K + 4In + 2Tl	10 40 97 187 301				
In5	2Na + 2K + 6In	10 41 99 193 298				
In6	4K + 6In	10 39 92 178 296				
In7	3K + 5In + 1Tl	9 36 94 181 300				
In8	3Na + 2K + 4In	9 42 104 184 301				
In9	3Na + 2K + 5In	10 42 102 191 306				
In10	3Na + 2K + 4In	9 41 103 186 299				
In11	4K + 4In + 3Tl	11 47 106 193 318				
In12	5K + 4In + 3Tl	12 48 102 188 319				
In17	1Na + 4K + 5In + 1Tl	11 41 106 183 292				
In18	2Na + 4K + 4In	10 42 99 182 299				
In19	4K + 4In + 3Tl	11 47 109 189 302				
In21	12In + 4Tl	16 40 105 177 282				
Tl1	4K + 4In + 2Tl	10 39 100 173 294				
Tl2	1Na + 5K + 3In + 2Tl	11 47 101 182 307				
Tl3	4K + 5In + 1Tl	10 39 95 173 286				
Tl4	5K + 4In + 2Tl	11 43 105 179 300				
Tl8	6K + 7In + 1Tl	14 54 115 200 318				
Tl10	6K + 7In	13 54 121 198 303				

разовании кристаллической структуры получены расчетом координационных последовательностей, т.е. наборов чисел $\{N_k\}$, где N_k – число атомов в k -ой координационной сфере данного атома.

Полученные значения координационных последовательностей атомов в 3D-сетках приведены в табл. 2, в которой жирным шрифтом выделено число соседних атомов в ближайшем окружении, т.е. в первой координационной сфере атома. Все атомы характеризуются различными наборами координационных последовательностей $\{N_k\}$.

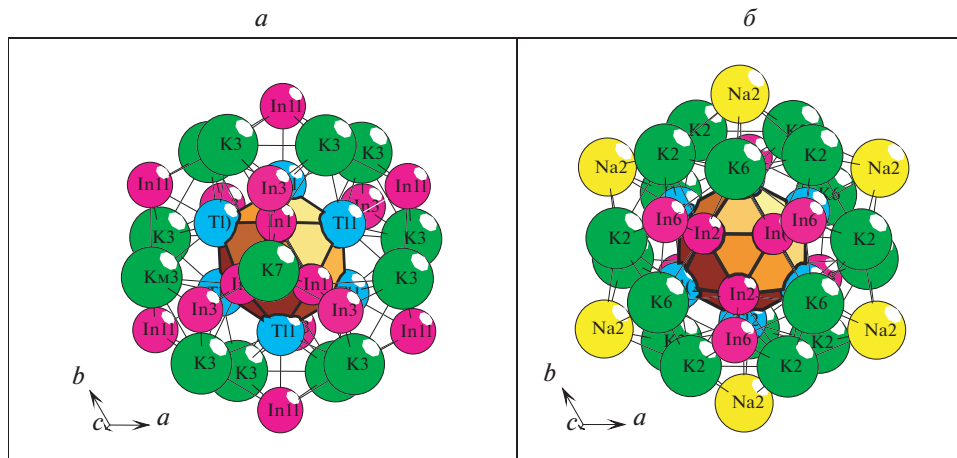


Рис. 1. Двухслойные кластеры 0@12@26 (а) и 0@12@30 (б).

Алгоритм разложения в автоматическом режиме структуры любого интерметаллида был неоднократно описан в работах и реализован в комплексе программ ToposPro [16].

Самосборка кристаллической структуры $K_{52}Na_{12}Tl_{36}In_{122}-hP224$. Использованный нами метод моделирования кристаллической структуры основан на определении иерархической последовательности ее самосборки в кристаллографическом пространстве [15, 17]. На первом уровне самоорганизации системы определяется механизм формирования первичной цепи структуры из нанокластеров 0-уровня, сформированных на темплатной стадии химической эволюции системы, далее – механизм самосборки из цепи слоя (2-ой уровень) и затем из слоя – трехмерного каркаса структуры (3-й уровень).

Кристаллографические данные. Пространственная группа $P-3m1$ (no. 164) характеризуется элементами с точечной симметрией: $g = -3m$ ($1a$, $1b$), $3m$ ($2c$, $2d$), $2/m$ ($3e$, $3f$), $2(6g, 6h)$, m ($6i$). Порядок группы 12.

В табл. 2 приведено локальное окружение атомов K, Na, Tl, In и значения их координационных последовательностей в 3D атомной сетке.

Число вариантов кластерного представления 3D атомной сетки с числом структурных единиц от 4 до 10 составило 1649 вариантов (табл. 3).

Установлены два кристаллографически различных икосаэдрических кластера $ico-In_6Tl_6(0@12)$ с симметрией $-3m$, занимающие высоко симметричные позиции $4a$ и $4b$.

Икосаэдры $ico-In_6Tl_6(0@12)$ являются темплатами, на которых происходит образование трехслойных кластеров K132 и K116 с размером 17 Å (рис. 1, 2).

Нанокластер K132 имеет химический состав оболочек $0@12(In_6Tl_6)@30(In_6Na_6K_{18})@90(In_{72}Na_{12}K_6)$. Нанокластер K116 имеет химический состав оболочек $0@12(In_6Tl_6)@26(In_{12}K_{14})@78(In_{36}Tl_{20}K_{12})$.

Самосборка кристаллической структуры. Нанокластеры K132 (табл. 4) и K116 (табл. 5) являются каркас-образующими кластерами.

Слой. Образование базисного слоя S_3^2 происходит из кластеров K132 при связывании первичных цепей со сдвигом (рис. 3). Расстояние между центрами кластеров K132 в первичной цепи и в слое определяет значение векторов трансляций $a = b = 16.909 \text{ \AA}$.

Пакет. На поверхности слоя из кластеров K132 образуется слой из кластеров K116 (рис. 4). В пустотах слоя из кластеров K116 расположены атомы-спейсеры K8 и Tl10, на-

Таблица 3. $K_{52}Na_{12}Tl_{36}In_{122}-hP224$. Варианты кластерного представления кристаллической структуры с 4 и 10 структурными единицами. Указан центральный атом или центр пустоты полизэдрического кластера, число его оболочек (в первой скобке) и количество атомов в каждой оболочке (во второй и третьей скобке). Кристаллографические позиции, соответствующие центрам пустот полизэдрических кластеров обозначены ZA1 и ZA2

4 структурные единицы	
ZA2(1b)(3)(0@12@30@90)	ZA1(1a)(3)(0@12@26@78) K8(1)(1@15) Tl10(1)(1@13)
ZA2(1b)(3)(0@12@30@90)	ZA1(1a)(3)(0@12@26@78) K8(0)(1) K4(1)(1@15)
ZA2(1b)(3)(0@12@30@90)	ZA1(1a)(3)(0@12@26@78) K8(1)(1@15) K4(1)(1@15)
ZA2(1b)(3)(0@12@30@90)	ZA1(1a)(2)(0@12@26) K8(2)(1@15@46) Tl10(0)(1)
ZA2(1b)(3)(0@12@30@90)	ZA1(1a)(2)(0@12@26) K8(2)(1@15@46) Tl10(1)(1@13)
ZA2(1b)(3)(0@12@30@90)	ZA1(1a)(2)(0@12@26) In21(1)(1@16) K1(1)(1@16)
ZA2(1b)(3)(0@12@30@90)	ZA1(1a)(2)(0@12@26) Tl10(1)(1@13) K1(1)(1@16)
ZA2(1b)(3)(0@12@30@90)	ZA1(1a)(3)(0@12@26@78) K8(1)(1@15) Tl10(1)(1@13)
10 структурных единиц	
ZA2(1b)(1)(0@12)	ZA1(1a)(1)(0@12) K7(1)(1@12) K8(1)(1@15) Tl10(1)(1@13) Na1(1)(1@15) Na2(1)(1@13) In6(1)(1@10) In11(1)(1@11) Tl3(0)(1)
ZA2(1b)(1)(0@12)	ZA1(1a)(1)(0@12) K7(1)(1@12) K8(1)(1@15) Tl10(1)(1@13) Na1(1)(1@15) Na2(1)(1@13) In6(0)(1) In11(1)(1@11) Tl3(0)(1)
ZA2(1b)(1)(0@12)	ZA1(1a)(1)(0@12) K7(1)(1@12) K8(1)(1@15) Tl10(1)(1@13) Na1(1)(1@15) Na2(0)(1) In6(1)(1@10) In11(1)(1@11) Tl3(0)(1)
ZA2(1b)(1)(0@12)	ZA1(1a)(1)(0@12) K7(1)(1@12) K8(1)(1@15) Tl10(1)(1@13) Na1(0)(1) Na2(1)(1@13) In6(1)(1@10) In11(1)(1@11) Tl3(0)(1)
ZA2(1b)(1)(0@12)	ZA1(1a)(1)(0@12) K7(1)(1@12) K8(1)(1@15) Tl10(1)(1@13) Na1(1)(1@15) Na2(1)(1@13) In6(0)(1) In11(1)(1@11) Tl3(1)(1@10)
ZA2(1b)(1)(0@12)	ZA1(1a)(1)(0@12) K7(1)(1@12) K8(0)(1) Tl10(0)(1) Na1(1)(1@15) Na2(1)(1@13) In6(0)(1) In11(1)(1@11) Tl3(1)(1@10)
ZA2(1b)(1)(0@12)	ZA1(1a)(1)(0@12) K7(0)(1) K8(0)(1) Tl10(0)(1) Na1(1)(1@15) Na2(1)(1@13) In6(0)(1) In11(1)(1@11) Tl3(1)(1@10)
ZA2(1b)(1)(0@12)	ZA1(1a)(1)(0@12) K7(1)(1@12) K8(0)(1) Tl10(1)(1@13) Na1(1)(1@15) Na2(1)(1@13) In6(0)(1) In11(1)(1@11) Tl3(1)(1@10)
ZA2(1b)(1)(0@12)	ZA1(1a)(1)(0@12) K7(0)(1) K8(0)(1) Tl10(0)(1) Na1(1)(1@15) Na2(1)(1@13) In6(0)(1) In11(1)(1@11) Tl3(1)(1@10)
ZA2(1b)(1)(0@12)	ZA1(1a)(1)(0@12) K7(0)(1) K8(1)(1@15) Tl10(0)(1) Na1(1)(1@15) Na2(1)(1@13) In6(0)(1) In11(1)(1@11) Tl3(1)(1@10)
ZA2(1b)(1)(0@12)	ZA1(1a)(1)(0@12) K7(1)(1@12) K8(0)(1) Tl10(1)(1@13) Na1(1)(1@15) Na2(1)(1@13) In6(0)(1) In11(1)(1@11) Tl3(1)(1@10)
ZA2(1b)(1)(0@12)	ZA1(1a)(1)(0@12) K7(1)(1@12) K8(0)(1) Tl10(1)(1@13) Na1(1)(1@15) Na2(1)(1@13) In6(0)(1) In11(1)(1@11) Tl3(1)(1@10)
ZA2(1b)(1)(0@12)	ZA1(1a)(1)(0@12) K7(1)(1@12) K8(1)(1@15) Tl10(1)(1@13) Na1(1)(1@15) Na2(1)(1@13) In6(1)(1@10) In11(1)(1@11) Tl3(0)(1)

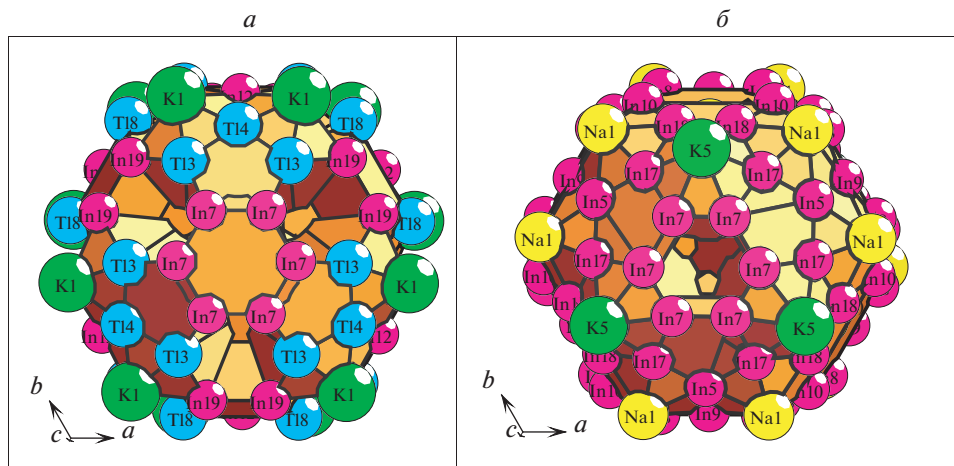


Рис. 2. Трехслойные кластеры K116 (а) и K132 (б).

нимаящие позиции $2d$ ($1/3, 2/3, 0.174$) и $Tl10$ ($2/3, 1/3, 0.185$) с симметрией $3m$. Толщина двухслойного пакета соответствует значению модуля вектора трансляции $c = 28.483 \text{ \AA}$.

Самосборка каркаса. 3D каркасная структура S_3^3 формируется при связывании двухслойных пакетов в направлении оси Z .

Таблица 4. Атомы, формирующие 132-атомный нанокластер K132. Жирным шрифтом выделены атомы Na и K

Нанокластер K132		
Икосаэдрический кластер 0@12	30-атомная оболочка	90-атомная оболочка
6 In2	6 In6	12 In10
6 Tl2	12 K2	12 In17
	6 K6	12 In18
	6 Na2	6 In5
		12 In7
		12 In8
		6 In9
		6 K5
		12 Na1

Таблица 5. Атомы, формирующие 116-атомный нанокластер K116. Жирным шрифтом выделены атомы K

Кластер K116		
Икосаэдрический кластер 0@12	26-атомная оболочка	78-атомная оболочка
6 In1	6 In11	6 In12
6 Tl1	6 In3	12 In19
	12 K3	6 In21
	2 K7	12 In7
		6 Tl4
		12 Tl3
		12 Tl8
		12 K1

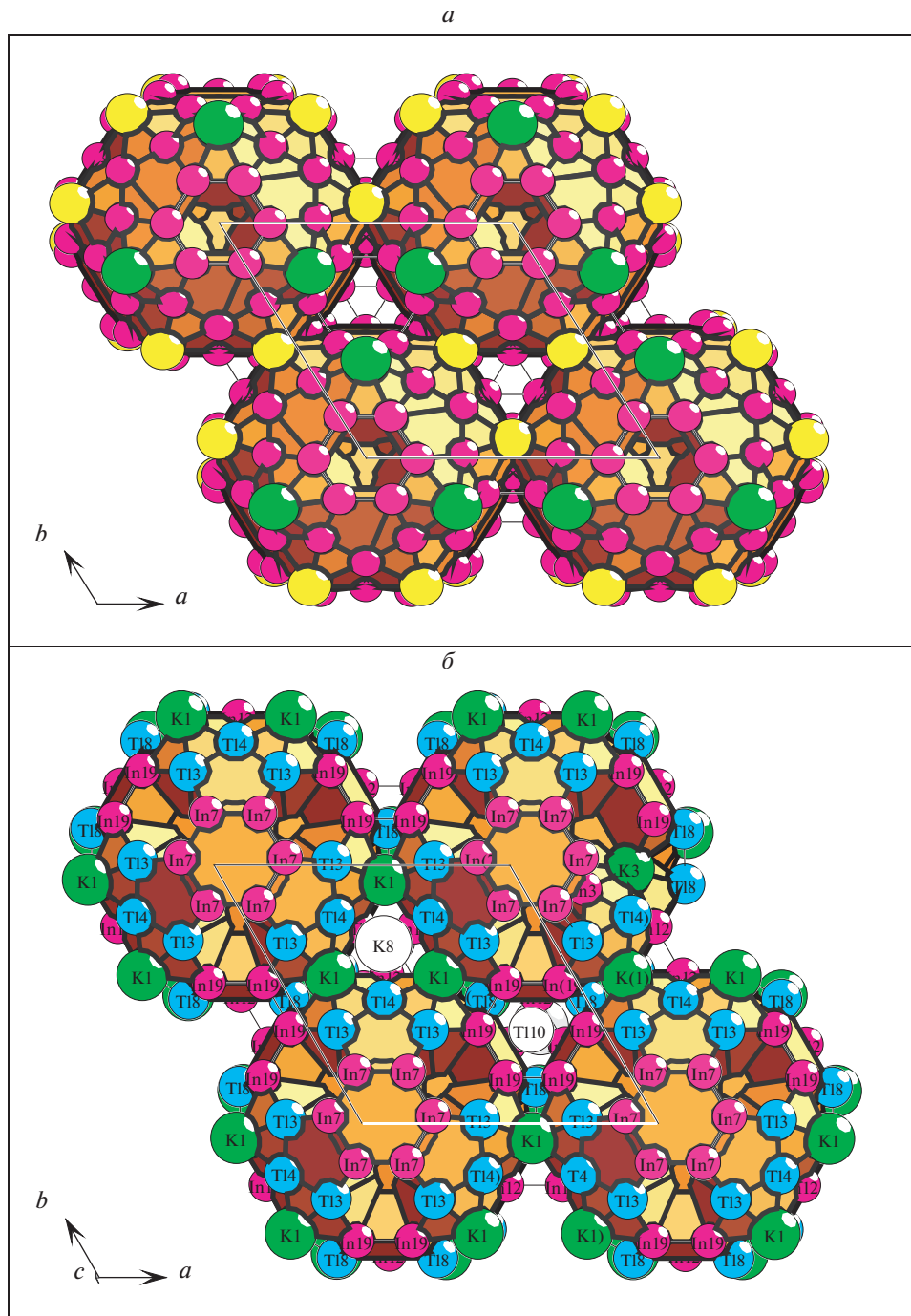


Рис. 3. Механизм связывания кластеров K132 (а) и K116 (б) при образовании слоя.

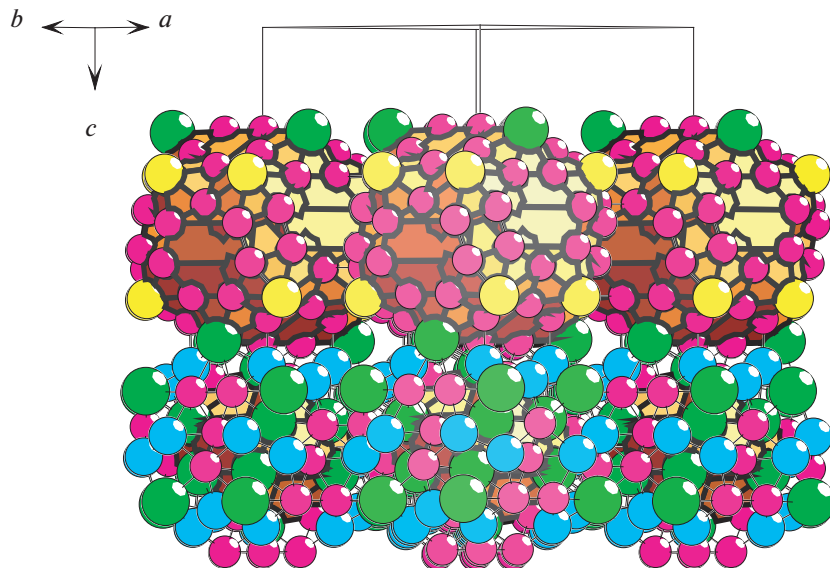


Рис. 4. Механизм связывания слоев из кластеров К116 и К132 при образовании пакета.

ЗАКЛЮЧЕНИЕ

Методом разложения 3D атомной сетки на кластерные структуры установлены два каркас-образующих кластера К132 и К116 с симметрией $g = -3m$. В пустотах слоя из кластеров К116 расположены атомы-спейсеры К и Tl.

Нанокластер К132 имеет химический состав оболочек $0@12(\text{In}_6\text{Tl}_6)@30(\text{In}_6\text{Na}_6\text{K}_{18})@90(\text{In}_{72}\text{Na}_{12}\text{K}_6)$, нанокластер К116 – химический состав оболочек $0@12(\text{In}_6\text{Tl}_6)@26(\text{In}_{12}\text{K}_{14})@78(\text{In}_{36}\text{Tl}_{20}\text{K}_{12})$.

Реконструирован симметрийный и топологический код процессов самосборки 3D структур из нанокластеров-прекурсоров *ico*-К132 и К116 в виде: первичная цепь \rightarrow слой \rightarrow двухслойный пакет \rightarrow каркас.

Работа выполнена при поддержке Министерства науки и высшего образования в рамках выполнения работ по Государственному заданию ФНИЦ “Кристаллография и фотоника” РАН и Российской фонда фундаментальных исследований (РФФИ № 19-02-00636).

СПИСОК ЛИТЕРАТУРЫ

1. Villars P., Cenzual K. Pearson’s Crystal Data-Crystal Structure Database for Inorganic Compounds (PCDIC) ASM International: Materials Park, OH.
2. Inorganic crystal structure database (ICSD). Fachinformationszentrum Karlsruhe (FIZ), Germany and US National Institute of Standard and Technology (NIST).
3. Somer M., Carrillo-Cabrera W., Peters E.M., Peters K., von Schnering H.G. Crystal structure of sodium potassium antimonidetriantimonidoaluminate, $\text{Na}_3\text{K}_6\text{Sb}(\text{Al}_2\text{Sb}_3)$ // Z. Kristallogr. 1995. V. 210. P. 527–527.
4. Somer M., Carrillo-Cabrera W., Peters E.M., Peters K., von Schnering H.G. Crystal structure of sodium potassium antimonidetriantimonidogallate, $\text{K}_6\text{Na}_3\text{Sb}(\text{GaSb}_3)$ // Z. Kristallogr. 1995. V. 210. P. 143–143.
5. Kim Sung-Jin, Kraus F., Faessler T.F. Na_6ZnSn_2 , $\text{Na}_{4.24}\text{K}_{1.76}\text{ZnSn}_2$, and $\text{Na}_{20}\text{Zn}_8\text{Sn}_{11}$: Three intermetallic structures containing the linear $\{\text{Sn}-\text{Zn}-\text{Sn}\}_6^-$ unit // J. Am. Chem. Soc. 2009. V. 131. P. 1469–1478.

6. Eisenmann B., Klein J. Dimere. Zintl-Anionen $[Sn_2As_6]_{10-}$ und $[Sn_2Sb_6]_{10-}$ in Alkaliverbindungen // Z. Kristallogr. 1991. V. 196. P. 213–229.
7. Tillard-Charbonnel M.M., Belin C.H.E., Manteghetti A.P., Flot D.M. Heteroatomic Centering of Icosahedral Clusters. Crystal and Electronic Structure of the $K_6(NaCd)_2Tl_{12}Cd$ Compound Containing the Not-So-Naked $Tl_{12}Cd_{12-}$ Polyanion // Inorg. Chem. 1996. V. 35. P. 2583–2589.
8. Dong Z-C., Corbett J.D. $Na_{14}K_6Tl_{18}M$ ($M = Mg, Zn, Cd, Hg$) and $Na_{13.5}Sm_{0.5}K_6Tl_{18}Na$: Novel octahedral and centered icosahedral cluster phases related to the Mg_2Zn_{11-} type structure // Angew. Chem. Int. Ed. Engl. 1996. V. 36. P. 1006–1008.
9. Asbrand M., Eisenmann B., Engelhardt H., Russler U. Dimere und polymere Pnictidostannat(IV)-Anionen-Darstellung und Kristallstrukturen von $Na_2K_3[SnP_3]$, $Na_2Cs_3[SnP_3]$ und $Na_2K_3[SnBi_3]$ // Zeitschrift fuer Naturforschung. Teil B. 1998. V. 53. P. 405–410.
10. Flot D.M., Tillard-Charbonnel M., Belin C. $Na_8K_{23}Cd_{12}In_{48}$: A Zintl phase containing icosahedral and triangular indium units and displaying a remarkable condensed metal fullarene stuffed with a tubular cluster. Synthesis, crystal, and electronic structures // J. Am. Chem. Soc. 1996. V. 118. P. 5229–5235.
11. Huang Daping, Corbett J.D. $Na_9K_{16}Tl_{18}Cd_3$: a novel phase containing $(Tl_8Cd_3)(-)$ and $Tl_5(7)$ clusters // Inorganic Chemistry. 1999. V. 38. P. 316–320.
12. Huang Daping, Dong Zhenchao, Corbett J.D. $Na_{12}K_{38}Tl_{48}Au_2$: A metallic Zintl phase with naked icosahedral fragments $Tl_7(7-)$ and $Tl_9(9-)$ plus $Au(-)$ // Inorganic Chemistry. 1998. V. 37. P. 5881–5886.
13. Flot D.M., Tillard Charbonnel M.M., Belin C. Crystal structure of sodium potassium thallide indide, $Na_6K_{26}In_{42-x}(In_yTl_{38-y})$ ($x = 1.08$; $y = 20.12$) // Z. Kristallogr. (New Structures). 1998. V. 213. P. 225–226.
14. Flot D., Vincent L., Tillard-Charbonnel M., Belin C. Crystal structure of sodium potassium cadmium gallium, $Na_{21}K_{14}Cd_{17}Ga_{84}$ // Z. Kristallogr. (New Structures). 1997. V. 212. P. 509–510.
15. Шевченко В.Я., Блатов В.А., Илюшин Г.Д. Моделирование процессов самоорганизации в кристаллообразующих системах. Новый двухслойный кластер—прекурсор $K_{44} = = 0@8(Na_2In_6)@36(In_6Cd_6K_6)_2$ для самосборки кристаллической структуры $K_{23}Na_8Cd_{12}In_{48}-hP91$ // Физ. и хим. стекла. 2019. Т. 45. № 6. С. 405–411.
16. Blatov V.A., Shevchenko A.P., Proserpio D.M. Applied Topological Analysis of Crystal Structures with the Program Package ToposPro // Cryst. Growth Des. 2014. V. 14. P. 3576–3585.
17. Илюшин Г.Д. Моделирование процессов самоорганизации в кристаллообразующих системах. М.: Едиториал УРПСС. 2003. 376 с.
18. Ilyushin G.D. Modeling of the Self-Organization Processes in Crystal-Forming Systems. Tetrahedral Metal Clusters and the Self-Assembly of Crystal Structures of Intermetallic Compounds // Crystallography Reports. 2017. V. 62. 5. P. 670–683.
19. Ilyushin G.D. Symmetry and Topology Code of the Cluster Self-Assembly of Intermetallic Compounds $A_2^{[16]}B_4^{[12]}$ of the Friauf Families Mg_2Cu_4 and Mg_2Zn_4 // Crystallography Reports. 2018. V. 63. 4. P. 543–552.
20. Blatov V.A., Ilyushin G.D., Proserpio D.M. New Types of Multishell Nanoclusters with a Frank-Kasper Polyhedral Core in Intermetallics // Inorg. Chem. 2011. V. 50. P. 5714–5724.
21. Ilyushin G.D. Modeling of Self-Organization Processes in Crystal-Forming Systems: Symmetry and Topology Code for the Cluster Self-Assembly of Crystal Structures of Intermetallic Compounds // Russ. J. Inorg. Chem. 2017. V. 62. 13. P. 1730–1769.
22. Pankova A.A., Akhmetshina T.G., Blatov V.A., Proserpio D.M. A collection of topological types of nanoclusters and its application to icosahedra-based intermetallics // Inorg. Chem. 2015. V. 54. № 13. P. 6616–6630.
23. Ilyushin G.D. Crystal Chemistry of Lithium Intermetallic Compounds: A Survey // Russ. J. Inorg. Chem. 2018. V. 63. № 14. P. 1786–1799.